

В. Г. Журавлев

ЯДЕРНЫЙ АЛГОРИТМ РАЗЛОЖЕНИЯ В МНОГОМЕРНЫЕ ЦЕПНЫЕ ДРОБИ

Светлой памяти Олега Мстиславовича Фоменко посвящается

ВВЕДЕНИЕ

0.1. Симплекс-ядерный алгоритм. В [1] был построен универсальный симплекс-ядерный алгоритм, применимый к точкам

$$\alpha = (\alpha_1, \dots, \alpha_d)$$

с любыми вещественными координатами. Хотя во избежание вырождений, в [1] рассматривался только случай иррациональных точек α , когда числа $1, \alpha_1, \dots, \alpha_d$ линейно независимы над кольцом целых рациональных чисел \mathbb{Z} .

Симплекс-ядерный алгоритм работает по следующей схеме. Выбирается целевая функция ϱ . Данная функция и точка α определяют некоторую ϱ -стратегию построения бесконечной монотонной последовательности

$$\mathbf{s} = \mathbf{s}_0 \supset \mathbf{s}_1 \supset \dots \supset \mathbf{s}_n \supset \dots \ni \alpha, \quad (0.1)$$

состоящей из d -мерных открытых симплексов \mathbf{s}_n с рациональными вершинами. Симплексы (0.1) обладают свойством минимальности:

1) любая рациональная точка $\frac{P}{Q} = \left(\frac{P_1}{Q}, \dots, \frac{P_d}{Q}\right)$ не попадает

$$\frac{P}{Q} \notin \mathbf{s}_n \quad (0.2)$$

в симплекс \mathbf{s}_n , если ее общий знаменатель $1 \leq Q < \mathbf{Q}_n$, где \mathbf{Q}_n – знаменатель точки Фарея

$$\frac{\mathbf{P}_n}{\mathbf{Q}_n} = \left(\frac{\mathbf{P}_{n1}}{\mathbf{Q}_n}, \dots, \frac{\mathbf{P}_{nd}}{\mathbf{Q}_n}\right) \quad (0.3)$$

симплекса \mathbf{s}_n , равной сумме Фарея всех его вершин;

Ключевые слова: многомерные цепные дроби, наилучшие приближения, симплекс-ядерный алгоритм.

Работа выполнена при финансовой поддержке РФФ, грант No. 14-11-00433.

2) единственной точкой $\frac{P}{Q}$ со знаменателем $Q = \mathbf{Q}_n$, содержащейся в симплексе

$$\frac{P}{Q} \in \mathbf{s}_n, \quad (0.4)$$

является точка Фарея $\frac{P}{Q} = \frac{\mathbf{P}_n}{\mathbf{Q}_n}$.

Из включения $\alpha \in \mathbf{s}_n$ и свойства минимальности (0.2)–(0.4) симплекса \mathbf{s}_n следует, что точка Фарея $\frac{\mathbf{P}_n}{\mathbf{Q}_n}$ дает наилучшее приближение для иррациональной точки α относительно \mathbf{s}_n -нормы, для которой в качестве выпуклого тела выбран сам симплекс \mathbf{s}_n . В этом состоит геометрический смысл минимальности симплексов \mathbf{s}_n в последовательности (0.1).

0.2. Ядерный алгоритм. В настоящей работе предлагается универсальный ядерный алгоритм, также применимый к любым вещественным точкам $\alpha = (\alpha_1, \dots, \alpha_d)$ и являющийся модификацией указанного выше симплекс-ядерного алгоритма (0.1)–(0.4). Основное отличие состоит в том, что вместо последовательности симплексов (0.1) рассматривается бесконечная последовательность

$$\mathbf{T} = \mathbf{T}_0 \rightarrow \mathbf{T}_1 \rightarrow \dots \rightarrow \mathbf{T}_n \rightarrow \dots \quad (0.5)$$

d -мерных параллелепедров \mathbf{T}_n , в общем случае не связанных, как (0.1), отношениями включения. Каждый параллелепедр \mathbf{T}_n получается из предыдущего \mathbf{T}_{n-1} с помощью операции дифференцирования

$$\mathbf{T}_n = \mathbf{T}_{n-1}^{\sigma_n} \quad (0.6)$$

В п. 6 указан некоторый алгоритм (ϱ -стратегия) выбора бесконечной последовательности $\sigma = \{\sigma_1, \sigma_2, \dots, \sigma_n, \dots\}$ дифференцирований σ_n в (0.6), обеспечивающий сходимость

$$\varrho(\mathbf{T}_n) \rightarrow 0 \quad \text{при} \quad n \rightarrow +\infty,$$

где $\varrho(\mathbf{T}_n)$ обозначает радиус параллелепедра \mathbf{T}_n в метрике ϱ , выбираемой в указанном алгоритме в качестве целевой функции.

В теореме 5.1 доказано, что параллелепедры \mathbf{T}_n из последовательности (0.5) также обладают свойством минимальности, аналогичным (0.2)–(0.4), но уже относительно \mathbf{T}_n -норм, являющихся ядерными нормами. Отсюда проистекает название рассматриваемого здесь ядерного алгоритма (0.5)–(0.6). Параллелепедры \mathbf{T}_n представляют собою ядра

некоторых индуцированных торических разбиений. Они подробно исследованы в [2] в случае размерности $d = 2$ и в [3] для произвольного d .

Количественная оценка скорости приближения содержится в теореме 6.1, где приведена следующая формула:

$$\left| \alpha_1 - \frac{\mathbf{P}_{n1}}{\mathbf{Q}_n} \right| + \dots + \left| \alpha_d - \frac{\mathbf{P}_{nd}}{\mathbf{Q}_n} \right| \leq \frac{1}{\mathbf{Q}_n^{1+\eta'}} \quad (0.7)$$

для всех $n \geq n_{\eta'}$. Здесь $\frac{\mathbf{P}_n}{\mathbf{Q}_n} = \left(\frac{\mathbf{P}_{n1}}{\mathbf{Q}_n}, \dots, \frac{\mathbf{P}_{nd}}{\mathbf{Q}_n} \right)$; знаменатели \mathbf{Q}_n в аппроксимационной формуле (0.7) обладают свойством

$$\mathbf{Q}_n \rightarrow +\infty \quad \text{при} \quad n \rightarrow +\infty,$$

η' – произвольное число, удовлетворяющее неравенству $\eta' < \eta$, где

$$\eta = \eta(\alpha, \varrho) = \sup_{n' \geq 0} \inf_{n \geq n'} \frac{-\ln \varrho(\mathbf{T}_n)}{\ln \mathbf{Q}_n}$$

– диофантова экспонента; при этом нижняя граница $n_{\eta'}$ для n определяется выбором показателя η' и зависит от иррациональной точки $\alpha = (\alpha_1, \dots, \alpha_d)$ и метрики ϱ .

Приближение (0.7) нетривиально, если выполняется неравенство $\eta' > 0$. Данное требование можно удовлетворить только в случае, когда диофантова экспонента $\eta(\alpha, \varrho) > 0$ – это основное требование, которое необходимо выполнить при выборе целевой функции ϱ .

0.3. Связи с другими работами. Применение индуцированных торических разбиений к задачам нахождения наилучших многомерных приближений было найдено в [2, 3]. Для двумерных приближений операция сложения Фарея точек в разных вариантах использовалась в [4–10]. Объединение этих двух подходов в виде рассмотренного выше симплекс-ядерного алгоритма (0.1)–(0.4) было осуществлено в [1]. Предлагаемый в настоящей работе универсальный ядерный алгоритм (0.5)–(0.6) основывается на идее индуцированных разбиений из [3].

§1. УНИМОДУЛЯРНЫЙ БАЗИСНЫЙ СИМПЛЕКС

1.1. Линейные унимодулярные преобразования. Основной областью для нас будет замкнутый d -мерный *единичный симплекс* $\Delta_e = \Delta_e^d$ с вершинами в точках

$$e_0 = (0, \dots, 0), \quad e_1 = (1, \dots, 0), \quad \dots, \quad e_d = (0, \dots, 1) \quad (1.1)$$

из пространства \mathbb{R}^d .

Пусть, как обычно, $\mathrm{GL}_{d+1}(\mathbb{Z})$ обозначает *унимодулярную группу порядка $d+1$* , состоящую из целочисленных квадратных $(d+1) \times (d+1)$ -матриц с определителем ± 1 . Выделим в группе $\mathrm{GL}_{d+1}(\mathbb{Z})$ *подгруппу* $G_0 = \mathrm{GL}_{d+1,0}(\mathbb{Z})$, образованную матрицами вида

$$U = \begin{pmatrix} V & L \\ 0 & 1 \end{pmatrix}, \quad (1.2)$$

где $V \in \mathrm{GL}_d(\mathbb{Z})$ и $L = \begin{pmatrix} l_1 \\ \vdots \\ l_d \end{pmatrix}$ – произвольный целочисленный столбец.

Группа G_0 действует на точки $\alpha = (\alpha_1, \dots, \alpha_d)$ из \mathbb{R}^d по формуле

$$U\alpha = V\alpha + L, \quad (1.3)$$

при этом α рассматривается как столбец $\begin{pmatrix} \alpha_1 \\ \vdots \\ \alpha_d \end{pmatrix}$. Таким образом,

группа G_0 соответствует целочисленным унимодулярным преобразованиям пространства \mathbb{R}^d .

Точку α назовем *иррациональной*, если выполняется условие:

$$\text{числа } 1, \alpha_1, \dots, \alpha_d \text{ линейно независимы над кольцом } \mathbb{Z}. \quad (1.4)$$

1.2. Центрированный унимодулярный симплекс.

Предложение 1.1. *Если α – иррациональная точка, то существует такая матрица $U \in G_0$, что выполняется включение*

$$\alpha \in (\Delta_U^d)^{\mathrm{int}}, \quad (1.5)$$

где $(\Delta_U^d)^{\mathrm{int}}$ обозначает внутреннюю часть симплекса $\Delta_U^d = U\Delta_e^d$.

Доказательство. Выберем матрицу U' с блоком

$$V' = \begin{pmatrix} 1 & a'_{12} & 0 & \dots & 0 & 0 \\ 0 & 1 & a'_{23} & \dots & 0 & 0 \\ & & \dots & & & \\ 0 & 0 & 0 & \dots & 1 & a'_{d-1,d} \\ 0 & 0 & 0 & \dots & 0 & 1 \end{pmatrix}$$

и столбцом L' с последним элементом $l'_d = 0$. Имеем

$$U'\alpha = \begin{pmatrix} \alpha_1 + a'_{12}\alpha_2 + l'_1 \\ \alpha_2 + a'_{23}\alpha_3 + l'_2 \\ \dots \\ \alpha_{d-1} + a'_{d-1,2}\alpha_d + l'_{d-1} \\ \alpha_d \end{pmatrix}. \quad (1.6)$$

Из иррациональности точки α следует, что пары чисел $\alpha_i, 1$ для всех $i = 2, \dots, d$ линейно независимы над \mathbb{Z} . Поэтому в (1.6) найдутся такие

целые числа a'_{ij} и l'_i , что у точки $\alpha' = U'\alpha = \begin{pmatrix} \alpha'_1 \\ \vdots \\ \alpha'_d \end{pmatrix}$ первые $d-1$

координат попадут в интервал $(0, 1/d)$. Далее выбираем матрицу U'' с блоком

$$V'' = \begin{pmatrix} 1 & 0 & 0 & \dots & 0 & 0 \\ 0 & 1 & 0 & \dots & 0 & 0 \\ & & \dots & & & \\ 0 & 0 & 0 & \dots & 1 & 0 \\ a''_{d1} & 0 & 0 & \dots & 0 & 1 \end{pmatrix}$$

и столбцом L'' с элементами $l''_1 = 0, \dots, l''_{d-1} = 0$. Так как $\alpha'_d = \alpha_d$, то получаем

$$U''\alpha' = \begin{pmatrix} \alpha'_1 \\ \alpha'_2 \\ \dots \\ \alpha'_{d-1} \\ u''_{d1}\alpha'_1 + \alpha_d + l''_d \end{pmatrix},$$

где числа $\alpha'_1, 1$ снова линейно независимы над \mathbb{Z} . Поэтому можно подобрать целые числа u''_{d1} и l''_d с условием $u''_{d1}\alpha'_1 + \alpha_d + l''_d \in (0, 1/d)$ и, значит, точка $\alpha'' = U''\alpha'$ содержится

$$\alpha'' \in (\Delta_e^d)^{\text{int}} \quad (1.7)$$

внутри симплекса Δ_e^d . Остается заметить, что матрица $U = (U''U')^{-1}$ принадлежит подгруппе G_0 и для нее в силу (1.7) будет выполняться включение (1.5). \square

Построенный в предложении 1.1 симплекс $\Delta = \Delta_U^d$ обладает следующими свойствами:

- 1) точка α содержится внутри Δ^{int} симплекса Δ ;

2) векторы, выходящие из одной из вершин симплекса Δ во все остальные вершины, образуют *унимодулярный базис*, т.е. некоторый базис d -мерной кубической решетки \mathbb{Z}^d .

Любой симплекс Δ , удовлетворяющий этим двум свойствам, будем называть *центрированным унимодулярным симплексом*, точнее – *центрированной точкой α* . Чтобы отличать симплексы Δ_U^d из (1.5) от других используемых далее унимодулярных симплексов Δ , будем Δ_U^d называть *общими базисными симплексами*. Здесь эпитет “базисный” означает, что симплексы $\Delta = \Delta_U^d$ будут выбираться в качестве основы на первом шаге некоторого алгоритма, генерирующего бесконечную последовательность центрированных унимодулярных симплексов $\Delta, \Delta', \Delta'', \dots$, диаметры которых стремятся к 0.

1.3. Критерий унимодулярности симплекса. Свойство унимодулярности симплекса Δ можно переформулировать в более симметричной форме. Пусть

$$\text{ver } \Delta = \{v_0, v_1, \dots, v_d\} \tag{1.8}$$

– множество вершин симплекса Δ . Тогда симплекс Δ будет унимодулярным тогда и только тогда, когда *матрица симплекса*

$$S_\Delta = \begin{pmatrix} v_0 & v_1 & \dots & v_d \\ 1 & 1 & \dots & 1 \end{pmatrix} \tag{1.9}$$

– квадратная матрица порядка $d + 1$ – является унимодулярной, т.е. принадлежащей группе $\text{GL}_{d+1}(\mathbb{Z})$. В первой строке матрицы (1.9) стоят столбцы из координат вершин v_i симплекса Δ .

1.4. Распределение дробных долей. Доказательство предложения 1.1 содержит алгоритм построения центрированных унимодулярных симплексов $\Delta = \Delta_U^d$. Данный алгоритм опирается на решение следующей аппроксимационной задачи: требуется найти целые числа b и c такие, что выполняются неравенства

$$0 < \alpha + b\beta + c < \frac{1}{d}, \tag{1.10}$$

где α, β – любые вещественные числа, при этом β иррационально. Задача (1.10) сводится к более привычной задаче о распределении дробных долей

$$\langle \alpha + b\beta \rangle < \frac{1}{d} \tag{1.11}$$

с одной переменной $b = 0, 1, 2, \dots$, где $\langle x \rangle$ обозначает дробную часть вещественного числа x . По-видимому, в общем случае, самый быстрый способ найти b , удовлетворяющие условию (1.11), состоит в последовательном переборе всех $b = 0, 1, 2, \dots$.

Если воспользоваться техникой разбиений Фибоначчи [12], то можно указать верхнюю границу

$$b < q_n + q_{n+1}, \quad (1.12)$$

в пределах которой существует b с условием (1.11). Здесь q_n – знаменатель первой подходящей дроби для числа β , удовлетворяющий неравенству $q_n \geq d$, а q_{n+1} – соответственно знаменатель следующей подходящей дроби. Заметим, что оценка (1.12) справедлива для всех значений параметра α в (1.11).

1.5. Единичные базисные симплексы. Обозначим вершины единичного d -мерного куба $C^d = [0, 1]^d$ через $\xi = (\xi_1, \dots, \xi_d)$, где $\xi_i = 0$ или 1. Каждой вершине куба ξ поставим в соответствие d -мерный симплекс Δ_ξ с вершинами

$$\text{ver } \Delta_\xi = \{\xi \pm e_i; i = 1, \dots, d\}. \quad (1.13)$$

Здесь e_i – единичные векторы из (1.1) и знак \pm выбирается из условия, что получающаяся в результате точка $\xi \pm e_i$ принадлежит кубу C^d . По определению (1.13) нулевой вершине $\xi = (0, \dots, 0)$ отвечает симплекс $\Delta_0 = \Delta_e$.

Представим точку $\alpha = (\alpha_1, \dots, \alpha_d)$ из \mathbb{R}^d в приведенном виде

$$\alpha = \alpha' + l, \quad (1.14)$$

где $\alpha' = (\alpha'_1, \dots, \alpha'_d)$ имеет координаты $\alpha'_i = \langle \alpha_i \rangle$ для $i = 1, \dots, d$ и, таким образом, вектор l в разложении (1.14) принадлежит решетке \mathbb{Z}^d . Зададим расстояние между точкой α' вершиной куба ξ с помощью полиэдральной метрики

$$|\alpha' - \xi| = |\alpha'_1 - \xi_1| + \dots + |\alpha'_d - \xi_d|. \quad (1.15)$$

Предложение 1.2. 1. Пусть точка α имеет представление в виде (1.14). Тогда если для некоторой вершины ξ куба C^d выполняется неравенство

$$|\alpha' - \xi| \leq 1, \quad (1.16)$$

то

$$\alpha \in \Delta_{\xi, l}, \quad (1.17)$$

где $\Delta_{\xi,l} = \Delta_{\xi} + l$ – унимодулярный симплекс, получающийся сдвигом симплекса Δ_{ξ} на вектор l из разложения (1.14).

2. Если при этом точка α является иррациональной (1.4), то имеет место включение

$$\alpha \in \Delta_{\xi,l}^{\text{int}} \quad (1.18)$$

и, следовательно, унимодулярный симплекс $\Delta_{\xi,l}$ центрирован точкой α .

Доказательство. Не ограничивая общности, можем считать вектор $l = 0$, т.е. точка $\alpha = \alpha'$ принадлежит единичному кубу C^d .

1. В случае нулевой вершины $\xi = (0, \dots, 0)$ симплекс $\Delta_0 = \Delta_e$ можно задать следующей системой неравенств

$$x_1 \geq 0, \dots, x_d \geq 0, \quad x_1 + \dots + x_d \leq 1, \quad (1.19)$$

отвечающих всем его $d + 1$ граням. Данная система равносильна неравенству $|x| \leq 1$ для точек $x = (x_1, \dots, x_d)$ из куба C^d . Отсюда и неравенства (1.16) вытекает включение $\alpha = \alpha' \in \Delta_{0,0}$.

Для произвольной вершины ξ куба C^d соответствующий симплекс Δ_{ξ} получается из симплекса Δ_0 с помощью некоторой симметрии куба C^d , отображающей нулевую вершину 0 в вершину ξ . При этой симметрии грань $|x| = 1$ симплекса Δ_0 переходит в грань $|x - \xi| = 1$ симплекса Δ_{ξ} , что доказывает включение $\alpha = \alpha' \in \Delta_{\xi,0}$.

По определению (1.1) симплекс $\Delta_0 = \Delta_e$ унимодулярный. Из приведенных выше рассуждений о симметриях куба или непосредственно из определения (1.13) симплексов Δ_{ξ} следует унимодулярность Δ_{ξ} , а значит, и симплексов $\Delta_{\xi,l} = \Delta_{\xi} + l$.

2. Если точка α является иррациональной, то в силу (1.4) иррациональной будет и точка $\alpha' = (\alpha'_1, \dots, \alpha'_d)$ и, следовательно, все ее координаты $\alpha'_i \neq 0$. В случае $\alpha = \alpha' \in \Delta_{0,0}$ точка α' не может принадлежать грани $|x| = 1$ симплекса $\Delta_0 = \Delta_{0,0}$, так как иначе выполнялось бы соотношение $\alpha'_1 + \dots + \alpha'_d = 1$, противоречащее определению иррациональности (1.4) точки α' . Таким образом, точка $\alpha = \alpha' \in \Delta_{0,0}$ не принадлежит ни одной грани симплекса $\Delta_{0,0}$ и поэтому она является внутренней точкой данного симплекса. Произвольный случай $\alpha = \alpha' \in \Delta_{\xi,0}$ рассматривается аналогично, что доказывает включение (1.18), а вместе с этим – центрированность симплекса $\Delta_{\xi,0}$ точкой α . Предложение 1.2 доказано. \square

Построенные симплексы $\Delta_{\xi, l}$, в отличие от общих базисных симплексов Δ_U^d из (1.5), будем называть *единичными базисными симплексами*, поскольку векторы, выходящие из вершины $\xi + l$ симплекса $\Delta_{\xi, l}$ во все остальные его вершины, имеют вид $\pm e_1, \dots, \pm e_d$, где e_i – единичные векторы из (1.1). В предложении 1.2 приведена явная конструкция единичных базисных симплексов $\Delta_{\xi, l}$ для произвольных иррациональных точек α из \mathbb{R}^d , удовлетворяющих условию (1.16). Для малых размерностей d этого зачастую бывает достаточно.

1.6. Единичные базисные симплексы малых размерностей.

Размерности $d = 1$ или $d = 2$ – это как раз те случаи, когда имеет место покрытие

$$C^d = \bigcup_{\xi \in \text{ver } C^d} \Delta_{\xi} \quad (1.20)$$

куба C^d (в данном случае – отрезка $C^1 = [0, 1]$ или квадрата $C^2 = [0, 1] \times [0, 1]$) единичными базисными симплексами $\Delta_{\xi} = \Delta_{\xi, 0}$, определенными в (1.13). Из (1.20) следует покрытие

$$\mathbb{R}^d = \bigcup_{\xi \in \text{ver } C^d} \bigcup_{l \in \mathbb{Z}^d} \Delta_{\xi, l} \quad (1.21)$$

всего пространства \mathbb{R}^d (прямой \mathbb{R} или плоскости \mathbb{R}^2). Таким образом, в случае размерностей $d = 1, 2$ для всех иррациональных точек $\alpha \in \mathbb{R}^d$ найдется единичный симплекс $\Delta_{\xi, l}$, для которого данная точка α является внутренней $\alpha \in \Delta_{\xi, l}^{\text{int}}$.

Размерность $d = 3$. Начиная с размерности $d = 3$ отсутствует покрытие (1.20) куба C^d симплексами Δ_{ξ} . В трехмерном случае замыкание разности

$$O^3 = (C^3 \setminus \bigcup_{\xi \in \text{ver } C^3} \Delta_{\xi})^c \quad (1.22)$$

представляет собою вписанный в куб октаэдр O^3 с вершинами

$$\left(\frac{1}{2}, \frac{1}{2}, 0\right), \quad \left(\frac{1}{2}, 0, \frac{1}{2}\right), \quad \left(0, \frac{1}{2}, \frac{1}{2}\right), \quad (1.23)$$

$$\left(\frac{1}{2}, \frac{1}{2}, 1\right), \quad \left(\frac{1}{2}, 1, \frac{1}{2}\right), \quad \left(1, \frac{1}{2}, \frac{1}{2}\right).$$

Данный октаэдр имеет объем $\text{vol } O^3 = 1/6$, поэтому плотность множества из правой части равенства (1.21) равна $5/6$. Это означает, что

доля всех точек $\alpha \in \mathbb{R}^3$, для которых найдется содержащий их единичный симплекс $\alpha \in \Delta_{\xi, l}^{\text{int}}$, равна $5/6 \approx 0.83$ всего пространства \mathbb{R}^3 .

§2. ЗВЕЗДЫ И ИХ ПРОИЗВОДНЫЕ

2.1. Звезды. Обозначим через Σ совокупность всех сочетаний σ из двух элементов $\{k_1, k_2\}$ из множества индексов $\{0, 1, \dots, d\}$. Пусть v_0, v_1, \dots, v_d – произвольные векторы из \mathbb{R}^d и $\sigma' = \{k'_1, \dots, k'_{d-1}\} = \{0, 1, \dots, d\} \setminus \sigma$ – дополнительное к σ сочетание. Между $\sigma \in \Sigma$ и дополнительными к ним сочетаниями $\sigma' \in \Sigma$ существует взаимно однозначное соответствие

$$\sigma \Leftrightarrow \sigma'. \quad (2.1)$$

Далее мы будем рассматривать неупорядоченные множества векторов $\{v_0, v_1, \dots, v_d\}$.

Определение 2.1. Пусть любые $d - 1$ вектора из $\{v_0, v_1, \dots, v_d\}$ линейно независимы. Обозначим через

$$H_{\sigma'} = \{\lambda_{k'_1} v_{k'_1} + \dots + \lambda_{k'_{d-1}} v_{k'_{d-1}}; \lambda_{k'_1}, \dots, \lambda_{k'_{d-1}} \in \mathbb{R}\} \quad (2.2)$$

гиперплоскость, содержащую векторы $v_{k'_j}$ с индексами k'_j из σ' . Тогда такое множество векторов $v = \{v_0, v_1, \dots, v_d\}$ назовем звездой, если для всех дополнительных (2.1) к σ' сочетаний $\sigma = \{k_1, k_2\} \in \Sigma$ векторы v_{k_1}, v_{k_2} из $\{v_0, v_1, \dots, v_d\}$ не принадлежат гиперплоскости (2.2) и лежат по отношению к ней в разных полупространствах $H_{\sigma'}^+$ и $H_{\sigma'}^-$.

Непосредственно из определения звезды следует, что любые d вектора из $\{v_0, v_1, \dots, v_d\}$ будут линейно независимы. Объяснением названия звезды может служить следующий критерий.

Критерий 2.1. Обозначим через

$$\Delta(v) = \{\lambda_0 v_0 + \dots + \lambda_d v_d; \lambda_0 + \dots + \lambda_d \leq 1, \lambda_0, \dots, \lambda_d \geq 0\}, \quad (2.3)$$

где коэффициенты $\lambda_0, \dots, \lambda_d \in \mathbb{R}$, натянутый на векторы звезды v симплекс, и пусть $\Delta^{\text{int}}(v)$ – внутренняя часть симплекса (2.3). Тогда условие на множество векторов v быть звездой равносильно условию

$$0 \in \Delta^{\text{int}}(v). \quad (2.4)$$

2.2. Производные звезды. Далее мы будем использовать обозначения

$$X = X_1 \sqcup X_2, \quad X = X_1 \cup X_2 \quad (2.5)$$

для *строгого* и *нестрогого разбиений* множества X в случае, если $X_1 \cap X_2 = \emptyset$ и $X_1^{\text{int}} \cap X_2^{\text{int}} = \emptyset$ соответственно, где X_k^{int} – множество внутренних точек из X_k .

Из определения 1.1 вытекает следующее утверждение.

Лемма 2.1. *Предположим, что для некоторого сочетания*

$$\sigma = \{k_1, k_2\}$$

из Σ сумма векторов $v_\sigma = v_{k_1} + v_{k_2}$ звезды $v = \{v_0, v_1, \dots, v_d\}$ не принадлежит плоскости $H_{\sigma'}$ из (2.2), где σ' – дополнительное сочетание (2.1) для σ . Тогда при этом условии только одно из множеств

$$v(\sigma) \sqcup v(\sigma') \quad (2.6)$$

будет согласованным. Здесь

$$v(\sigma) = \{v_{k_1}, v_\sigma\} \quad \text{или} \quad v(\sigma) = \{v_\sigma, v_{k_2}\} \quad (2.7)$$

в зависимости от того, какие из пар векторов v_{k_1}, v_σ или v_{k_2}, v_σ принадлежат разным полупространствам $H_{\sigma'}^\pm$, и $v(\sigma')$ – дополнительное для $v(\sigma)$ множество векторов из звезды v . \square

Заметим, что однозначность выбора множества $v(\sigma)$ в (2.7) гарантирована ограничением на сумму векторов $v_\sigma \notin H_{\sigma'}$.

Определение 2.2. *Обозначим через*

$$v^\sigma = v(\sigma) \sqcup v(\sigma') \quad (2.8)$$

то множество векторов из (2.6), которое является звездой. Если существуют множества векторов v^σ для всех сочетаний $\sigma \in \Sigma$, т.е. для всех σ выполняется условие леммы 2.1, то будем говорить, что звезда $v = \{v_0, v_1, \dots, v_d\}$ невырождена.

Таким образом, согласно определению 1.3 для всех сочетаний $\sigma = \{k_1, k_2\}$ из Σ на множестве невырожденных звезд $v = \{v_0, v_1, \dots, v_d\}$ определено отображение

$$v \xrightarrow{\sigma} v^\sigma = \{v_0^\sigma, v_1^\sigma, \dots, v_d^\sigma\}, \quad (2.9)$$

где

$$v_{k_1}^\sigma = v_{k_1}, \quad v_{k_2}^\sigma = v_\sigma$$

или

$$v_{k_1}^\sigma = v_\sigma, \quad v_{k_2}^\sigma = v_{k_2}$$

в зависимости от выполнения условия из (2.7), и

$$v_{k'}^\sigma = v_{k'} \quad \text{для всех } k' \in \sigma'.$$

Звезду v^σ из (2.9) назовем σ -производной невырожденной звезды v . Если нужно выделить индексы k_1, k_2 из сочетания $\sigma = \{k_1, k_2\}$, то будем для σ -производной (2.9) использовать еще и другое развернутое обозначение

$$v^\sigma = v^{\{k_1, k_2\}}. \quad (2.10)$$

По определению (2.9) имеет место формула коммутирования

$$v^{\{k_1, k_2\}} = v^{\{k_2, k_1\}}.$$

Поэтому для невырожденной звезды v существуют

$$C_{d+1}^2 = \frac{(d+1)d}{2} \quad (2.11)$$

ее производных звезд v^σ .

§3. ИНДУЦИРОВАННЫЕ РАЗБИЕНИЯ ТОРА

3.1. Перекладывающиеся развертки тора. Пусть

$$L = \mathbb{Z}[l_1, \dots, l_d] \quad (3.1)$$

– полная решетка в пространстве \mathbb{R}^d с базисом l_1, \dots, l_d , т.е. векторы l_1, \dots, l_d линейно независимы на поле вещественных чисел \mathbb{R} ; и пусть T – некоторое подмножество из \mathbb{R}^d . Будем говорить, что T является *разверткой тора* $\mathbb{T}_L^d = \mathbb{R}^d/L$, если отображение

$$T \xrightarrow{\sim} \mathbb{T}_L^d : \quad x \mapsto x \bmod L$$

– биекция. Развертка T называется *перекладывающейся*, если задано ее разбиение

$$T = T_0 \sqcup T_1 \sqcup \dots \sqcup T_d \quad (3.2)$$

и перекладывание

$$T \xrightarrow{S'} T : \quad S'(x) = x + v_{\text{col}(x)} \quad (3.3)$$

на векторы v_0, v_1, \dots, v_D , связанные с базисом (3.1) решетки L равенствами

$$l_k = v_k - v_0 \quad \text{для } k = 1, \dots, d. \quad (3.4)$$

В формуле (3.3) использовано обозначение $\text{col}(x) = k$ для *цвета* точек x , принадлежащих подмножеству T_k из разбиения (3.2), где $k = 0, 1, \dots, d$.

Заметим, что при переходе (3.4) от векторов перекладывания v_0, v_1, \dots, v_d к базису l_1, \dots, l_d решетки L нарушается симметрия, когда выделяется вектор v_0 . Удобно ввести для него дополнительное обозначение

$$v_0 = \alpha'. \quad (3.5)$$

В частности, из равенств (3.4) и (3.5) вытекают сравнения

$$v_k \equiv \alpha' \pmod{L}$$

для всех $k = 0, 1, \dots, d$. Поэтому перекладывание (3.3) эквивалентно сдвигу тора $S' = S'_{\alpha'}$:

$$T \xrightarrow{S'} T : S'(x) \equiv x + \alpha' \pmod{L} \quad (3.6)$$

на вектор $\alpha' \pmod{L}$.

3.2. Перекладывающиеся параллелепедры. Определим для $m = 0, 1, \dots, d$ замкнутые d -мерные параллелепипеды

$$\bar{T}_m = \{\lambda_{k_1} v_{k_1} + \dots + \lambda_{k_d} v_{k_d}; 0 \leq \lambda_{k_i} \leq 1\}, \quad (3.7)$$

где k_1, \dots, k_d – дополнительные к m индексы в $\{0, 1, \dots, d\}$. Если множество векторов $v = \{v_0, v_1, \dots, v_d\}$ является звездой (см. определение 2.1), то объединение

$$\bar{T} = \bar{T}_0 \cup \bar{T}_1 \cup \dots \cup \bar{T}_d \quad (3.8)$$

параллелепипедов (3.7) образует *параллеледр* [13, 14] – многогранник, разбивающий пространство

$$\mathbb{R}^d = \bigcup_{l \in L} \bar{T}[l] \quad (3.9)$$

с помощью параллельных переносов $\bar{T}[l] = \bar{T} + l$ на векторы l решетки L . Причем различные многогранники $\bar{T}[l]$ из (3.9) не имеют общих внутренних точек. Здесь и далее будем пользоваться соглашением (2.5).

Для $d = 2$ параллеледр \bar{T} из (3.7) является выпуклым шестиугольником с попарно равными и параллельными сторонами, для $d = 3$ – ромбододекаэдром Федорова [15], а для $d = 4$ – параллеледромом Вороного [16].

По *i-алгоритму* из [13] вершины, ребра и грани параллелепипедов \overline{T}_m можно распределить между собою так, чтобы получалось разбиение $T = T_0 \sqcup T_1 \sqcup \dots \sqcup T_d$, имеющее внутреннюю часть $T^{\text{int}} = (\overline{T})^{\text{int}}$ такую же, как и параллелоэдр (3.8), и разбивающее пространство

$$\mathbb{R}^d = \bigsqcup_{l \in L} T[l] \quad (3.10)$$

в строгом смысле (2.5), т.е. в (3.10) многогранники $T[l'] \cap T[l''] = \emptyset$, если $l' \neq l''$. Существование разбиения (3.10) равносильно условию незамкнутому параллелоэдру T быть разверткой тора $\mathbb{T}_L^d = \mathbb{R}^d/L$.

Исходя из *i-алгоритма* [13], можно считать, что выполнены условия $0 \in T_0$, $v_0 \in T_1$, $v_0 + v_1 \in T_2$, \dots , $v_0 + v_1 + \dots + v_{d-1} \in T_d$. (3.11)

Если дополнительно предположить выполненными условия (3.11), то в результате каждой звезде $v = \{v_0, v_1, \dots, v_d\}$ ставится в соответствие *перекладывающийся параллелоэдр*

$$T = T(v) = T_0 \sqcup T_1 \sqcup \dots \sqcup T_d, \quad (3.12)$$

являющийся разверткой тора \mathbb{T}_L^d с векторами перекладывания v_0, v_1, \dots, v_d в (3.3).

3.3. Вмещающее пространство. Кроме тора \mathbb{T}_L^d , нам потребуется еще один тор $\mathbb{T}_{\mathcal{L}}^d = \mathbb{R}^d/\mathcal{L}$ для другой полной решетки $\mathcal{L} \subset \mathbb{R}^d$. Зададим сдвиг $S = S_{\alpha}$ тора $\mathbb{T}_{\mathcal{L}}^d$ на вектор $\alpha \in \mathbb{R}^d$, полагая

$$\mathbb{T}_{\mathcal{L}}^d \xrightarrow{S} \mathbb{T}_{\mathcal{L}}^d : x \mapsto S(x) \equiv x + \alpha \pmod{\mathcal{L}}. \quad (3.13)$$

Далее торы $\mathbb{T}_{\mathcal{L}}^d$ будут использоваться, как вмещающие пространства для вложений различных торов \mathbb{T}_L^d с изменяющимися решетками L .

3.4. Вкладывающиеся в тор развертки.

Определение 3.1. \triangleright *Перекладывающаяся развертка T из (3.2) вкладывается*

$$T \xrightarrow{\text{em}} \mathbb{T}_{\mathcal{L}}^d \quad (3.14)$$

в тор $\mathbb{T}_{\mathcal{L}}^d$ относительно сдвига $S = S_{\alpha}$, если выполняются следующие условия.

1. *Подмножество $T \subset \mathbb{R}^d$ является \mathcal{L} -различимым, т.е. для любых элементов x, y из T , связанных сравнением $x \equiv y \pmod{\mathcal{L}}$, следует их равенство $x = y$. Значит, отображение*

$$T \xrightarrow{\sim} T \pmod{\mathcal{L}} : x \mapsto x \pmod{\mathcal{L}} \quad (3.15)$$

будет взаимно однозначным; и поэтому используя отображение (3.15) можем считать развертку T вложенной как множество

$$T \subset \mathbb{T}_{\mathcal{L}}^d \quad (3.16)$$

в тор $\mathbb{T}_{\mathcal{L}}^d$.

2. Векторы перекладывания (3.3) имеют вид

$$v_k \equiv m_k \alpha \pmod{\mathcal{L}} \quad (3.17)$$

для всех $k=0, 1, \dots, d$ с некоторыми коэффициентами $m_k=1, 2, 3, \dots$, называемыми порядками векторов v_k .

3. Пусть

$$\text{Orb}^+(T_k) = \{S^j(T_k); j = 1, \dots, m_k - 1\} \quad (3.18)$$

обозначает орбиту подмножества $T_k \subset T$. В силу включения (3.16) будем полагать $\text{Orb}_k^+ \subseteq \mathbb{T}_{\mathcal{L}}^d$. Тогда по определению считается, что орбиты (3.18) удовлетворяют условию

$$\text{Orb}^+(T_k) \cap T = \emptyset \quad (3.19)$$

для $k = 0, 1, \dots, D$. \triangleleft

Чтобы сформулировать следующий результат, нам потребуется в дополнение к (3.18) определить еще *полные орбиты*

$$\text{Orb}(T_k) = \{S^j(T_k); j = 0, 1, \dots, m_k - 1\}. \quad (3.20)$$

Кроме того, будем предполагать вектор сдвига $\alpha = (\alpha_1, \dots, \alpha_d)$ из (3.13) *иррациональным*, когда выполняется условие:

$$\text{числа } 1, \alpha_1, \dots, \alpha_d \text{ линейно независимы над кольцом } \mathbb{Z}. \quad (3.21)$$

Здесь α_k – координаты вектора α в некотором базисе полной решетки \mathcal{L} .

Теорема 3.1. Пусть развертка T вкладывается (3.14) в тор $\mathbb{T}_{\mathcal{L}}^d$, развертка T имеет внутреннюю точку, и пусть вектор α для сдвига $S = S_{\alpha}$ из (3.13) будет иррациональным (3.21). Тогда выполняются следующие утверждения.

1. Множества из полных орбит $\text{Orb}(T_k)$ не пересекаются, т.е.

$$S^{j_1}(T_{k_1}) \cap S^{j_2}(T_{k_2}) \neq \emptyset \quad (3.22)$$

только при условии $j_1 = j_2$ и $k_1 = k_2$.

2. Имеет место разбиение тора $\mathbb{T}_{\mathcal{L}}^d$:

$$\mathcal{T} = \mathcal{T}_0 \sqcup \mathcal{T}_1 \sqcup \dots \sqcup \mathcal{T}_d, \quad (3.23)$$

где

$$\mathcal{T}_k = T_k \sqcup S^1(T_k) \sqcup \dots \sqcup S^{m_k-1}(T_k)$$

– орбитное разбиение, составленное из множеств, входящих в полную орбиту $\text{Orb}(T_k)$ из (3.20).

Доказательство. См. [3]. □

3.5. Индуцированные отображения и ядро разбиения. Из теоремы 3.1 следует, что сдвиг тора $S' : T \rightarrow T$ из (3.6) является *индуцированным отображением* или иначе – отображением первого возвращения, отображением Пуанкаре – для сдвига тора $S : \mathbb{T}_{\mathcal{L}}^d \rightarrow \mathbb{T}_{\mathcal{L}}^d$ из (3.13), что символически будем обозначать в виде равенства

$$S' = S|_T. \tag{3.24}$$

Обозначим

$$T = T(v), \quad \mathcal{T} = \mathcal{T}(v) = \mathcal{T}_0 \sqcup \mathcal{T}_1 \sqcup \dots \sqcup \mathcal{T}_d \tag{3.25}$$

соответственно развертку T из (3.2), (3.12) и *индуцированное разбиение* (3.23) тора $\mathbb{T}_{\mathcal{L}}^d$, порождаемое вкладывающейся в тор $T \xrightarrow{\text{em}} \mathbb{T}_{\mathcal{L}}^d$ разверткой T .

Множество T по отношению ко всему разбиению тора \mathcal{T} называется (ср. [17, 18]) *ядром (karyon)* разбиения \mathcal{T} . Чтобы указывать на такую связь между T и \mathcal{T} используется обозначение $T = \text{Kг} = \text{Kг}(\mathcal{T})$. Ядро Kг характеризуется следующим свойством: ядро – это такое подмножество $\text{Kг} \subset \mathbb{T}_{\mathcal{L}}^D$, для которого отображение первого возвращения

$$S' = S|_{\text{Kг}}, \tag{3.26}$$

индуцированное сдвигом тора $S = S_{\alpha}$ из (3.13), эквивалентно перекладыванию $D + 1$ подмножеств из разбиения

$$\text{Kг} = \text{Kг}_0 \sqcup \text{Kг}_1 \sqcup \dots \sqcup \text{Kг}_D. \tag{3.27}$$

В определении ядра Kг важно, что количество областей в разбиении (3.27) на единицу больше размерности вмещающего его тора $\mathbb{T}_{\mathcal{L}}^D$. Отсюда, в частности, следует, что Kг является разверткой некоторого тора $\mathbb{T}_{\mathcal{L}}^D$, а индуцированное отображение (3.26) изоморфно сдвигу этого тора.

3.6. Критерий вложимости развертки тора.

Теорема 3.2. *Определенная в (3.12) развертка тора $T = T(v)$ вкладывается (3.14) в тор $T \xrightarrow{\text{em}} \mathbb{T}_{\mathcal{L}}^d$ тогда и только тогда, когда выполняется одно из следующих двух эквивалентных утверждений:*

1) множество $\mathcal{T} = \mathcal{T}(v) = \mathcal{T}_0 \sqcup \mathcal{T}_1 \sqcup \dots \sqcup \mathcal{T}_d$ из (3.25) является разбиением тора $\mathbb{T}_{\mathcal{L}}^d$;

2) внутренняя часть T^{int} развертки $T \subset \mathbb{T}_{\mathcal{L}}^d$ не содержит ни одной из точек x_j орбиты

$$\text{Orb}^+(0, m) = \{x_j = S^j(0); \quad j = 1, 2, \dots, m-1\} \quad (3.28)$$

порядка

$$m = m_0 + m_1 + \dots + m_d. \quad (3.29)$$

Доказательство. См. [3]. □

Число m из (3.29) называется *порядком* развертки тора $T = T(v)$. Саму развертку $T = T(v)$ и порождающую ее звезду v назовем *минимальными*, если выполняется условие 2) из теоремы 3.2.

3.7. Производные вкладывающихся звезд.

Определение 3.2. *Пусть $v = \{v_0, v_1, \dots, v_D\}$ – звезда и $T = T(v)$ – отвечающая ей развертка (3.25) тора $\mathbb{T}_{\mathcal{L}}^d$ с векторами перекладывания v_0, v_1, \dots, v_D . Если данная развертка T вкладывается $T \xrightarrow{\text{em}} \mathbb{T}_{\mathcal{L}}^d$ в тор $\mathbb{T}_{\mathcal{L}}^d$ относительно некоторого сдвига $S = S_{\alpha}$, то в этом случае будем говорить, что такая звезда v вкладывается*

$$v \xrightarrow{\text{em}} \mathbb{T}_{\mathcal{L}}^d \quad (3.30)$$

в тор $\mathbb{T}_{\mathcal{L}}^d$ относительно сдвига S .

Теорема 3.3. *Пусть невырожденная звезда $v = \{v_0, v_1, \dots, v_d\}$ вкладывается (3.30) в тор $\mathbb{T}_{\mathcal{L}}^d$ относительно сдвига $S = S_{\alpha}$ с иррациональным (3.21) вектором α . Тогда любая ее σ -производная*

$$v^{\sigma} = \{v_0^{\sigma}, v_1^{\sigma}, \dots, v_d^{\sigma}\}$$

для $\sigma \in \Sigma$ также вкладывается

$$v^{\sigma} \xrightarrow{\text{em}} \mathbb{T}_{\mathcal{L}}^d \quad (3.31)$$

в тот же тор $\mathbb{T}_{\mathcal{L}}^d$ относительно сдвига S .

Доказательство см. [3]. □

§4. МАТРИЦЫ ЗВЕЗД И СПЕЦИАЛИЗАЦИИ
ДИФФЕРЕНЦИРОВАНИЙ

4.1. Матрица звезды. За начальный выберем базисный симплекс $\Delta = \Delta_V^d$ из (1.5), центрированный точкой α_- , где

$$\alpha_- = -\alpha = (-\alpha_1, \dots, -\alpha_d).$$

Определим звезду $r = r^{[\sigma]_0}$, состоящую из лучей

$$r_i^{[\sigma]_0} = v_i - \alpha_- = v_i + \alpha, \quad (4.1)$$

где v_i – вершины (1.8) симплекса Δ и $i = 0, 1, \dots, d$. Таким образом, полагаем

$$r^{[\sigma]_0} = \{r_0^{[\sigma]_0}, r_1^{[\sigma]_0}, \dots, r_d^{[\sigma]_0}\} = \{v_0 + \alpha, v_1 + \alpha, \dots, v_d + \alpha\}. \quad (4.2)$$

Согласно предложению 1.1 выполняется включение $\alpha_- \in \Delta^{\text{int}}$, поэтому применяя критерий (2.4) убеждаемся, что множество векторов из (4.2) действительно образует звезду. Определим *матрицу*

$$S^{[\sigma]_0} = \begin{pmatrix} P_{01}^{[\sigma]_0} & P_{11}^{[\sigma]_0} & \dots & P_{d1}^{[\sigma]_0} \\ P_{0d}^{[\sigma]_0} & P_{1d}^{[\sigma]_0} & \dots & P_{dd}^{[\sigma]_0} \\ Q_0^{[\sigma]_0} & Q_1^{[\sigma]_0} & \dots & Q_d^{[\sigma]_0} \end{pmatrix} \quad (4.3)$$

звезды $r = r^{[\sigma]_0}$ как матрицу (1.9) симплекса Δ ; а именно, каждый столбец матрицы $S^{[\sigma]_0}$ состоит из координат вершин v_i симплекса Δ и коэффициента $Q_i^{[\sigma]_0} = 1$ при α в правой части (4.1). Согласно (1.9) матрица $S^{[\sigma]_0}$ звезды $r = r^{[\sigma]_0}$ является унимодулярной, поэтому определенные в (4.2) звезды будем называть *унимодулярными*.

4.2. Специализации дифференцирований. Дифференцировани-
ям $\sigma = \{k, l\}$ из множества Σ с произвольными индексами $0 \leq k < l \leq d$ (см. п. 2.1) поставим в соответствие матрицы

$$D_k^{kl} = E + E_{lk}, \quad D_l^{kl} = E + E_{kl}, \quad (4.4)$$

где $E = E_{d+1}$ – единичная матрица порядка $d+1$, а матрицы E_{ij} имеют нулевые элементы, кроме $1 = 1_{ij}$ на (i, j) -месте. Матрицы M из (4.4) имеют целые коэффициенты и определители $\det M = \pm 1$, поэтому принадлежат группе $\text{GL}_{d+1}(\mathbb{Z})$.

По определению (2.9) производная звезда $r^\sigma = \{r_0^\sigma, r_1^\sigma, \dots, r_d^\sigma\}$ имеет вид

$$r^\sigma = \{r_0, \dots, \underbrace{r_k + r_l}_k, \dots, \underbrace{r_l}_l, \dots, r_d\} \quad (4.5)$$

или

$$r^\sigma = \{r_0, \dots, \underbrace{r_k}_k, \dots, \underbrace{r_k + r_l}_l, \dots, r_d\}. \quad (4.6)$$

Скажем, что относительно звезды r дифференцирование $\sigma = \{k, l\}$ имеет *специализацию*

$$\text{sp}(\sigma, r) = \text{sp}_k^{kl} \quad \text{или} \quad \text{sp}(\sigma, r) = \text{sp}_l^{kl} \quad (4.7)$$

в зависимости от того, какой случай (4.5) или (4.6) имеет место. Каждой специализации (4.7) поставим в соответствие

$$D(\text{sp}_k^{kl}) = D_k^{kl} \quad \text{или} \quad D(\text{sp}_l^{kl}) = D_l^{kl} \quad (4.8)$$

свою матрицу из (4.4). Таким образом, в силу (4.7) и (4.8) однозначно определена *матрица специализации*

$$D(\sigma, r) = D(\text{sp}(\sigma, r)) \quad (4.9)$$

дифференцирования $\sigma \in \Sigma$ относительно произвольной невырожденной звезды r .

4.3. Матрицы производных звезд. Пусть

$$S = \begin{pmatrix} P_{01} & P_{11} & \dots & P_{d1} \\ & & \dots & \\ P_{0d} & P_{1d} & \dots & P_{dd} \\ Q_0 & Q_1 & \dots & Q_d \end{pmatrix} \quad (4.10)$$

– матрица некоторой невырожденной звезды r и σ – некоторое дифференцирование из множества Σ . Выясним, какова матрица

$$S^\sigma = \begin{pmatrix} P_{01}^\sigma & P_{11}^\sigma & \dots & P_{d1}^\sigma \\ & & \dots & \\ P_{0d}^\sigma & P_{1d}^\sigma & \dots & P_{dd}^\sigma \\ Q_0^\sigma & Q_1^\sigma & \dots & Q_d^\sigma \end{pmatrix} \quad (4.11)$$

производной звезды r^σ .

Лемма 4.1. *Матрицы исходной звезды (4.10) и ее производной (4.11) связаны между собою формулой*

$$S^\sigma = S \cdot D(\sigma, r), \quad (4.12)$$

где $D(\sigma, r)$ – матрица специализации (4.9) дифференцирования σ относительно звезды r .

Доказательство. Пусть матрица-строка $(r_0 r_1 \dots r_d)$ состоит из лучей звезды r и аналогично $(r_0^\sigma r_1^\sigma \dots r_d^\sigma)$ для производной звезды r^σ . Тогда из равенств (4.5), (4.6) и определения (4.8), (4.9) матрицы специализации $D(\sigma, r)$ вытекает формула

$$(r_0^\sigma r_1^\sigma \dots r_d^\sigma) = (r_0 r_1 \dots r_d) \cdot D(\sigma, r), \quad (4.13)$$

из которой, если ее перенести на матрицы звезд S^σ и S , следует формула (4.12). \square

§5. АППРОКСИМАЦИЯ

5.1. Бесконечные итерации дифференцирований. Рассмотрим

$$\Xi = \Sigma^{\mathbb{N}} \quad (5.1)$$

– множество всех бесконечных последовательностей

$$\sigma = \{\sigma_1, \sigma_2, \dots, \sigma_n, \dots\},$$

состоящих из произвольных сочетаний σ_i из Σ ; и пусть

$$[\sigma]_n = \{\sigma_1, \sigma_2, \dots, \sigma_n\} \quad (5.2)$$

обозначает *отрезок* из первых n членов последовательности σ , при этом полагаем, что $[\sigma]_0 = \emptyset$. Используя определение производной звезды (2.9), индукцией по $n = 0, 1, 2, \dots$ определим $[\sigma]_n$ -производные

$$r^{[\sigma]_n} = (r^{[\sigma]_{n-1}})^{\sigma_n} \quad (5.3)$$

произвольной звезды r ; при этом условимся $r^{[\sigma]_0} = r$ для $n = 0$.

5.2. Радиус производных разверток. Пусть $[\sigma]_n$ -производные $r^{[\sigma]_n}$ звезды r состоят из лучей

$$r^{[\sigma]_n} = \{r_0^{[\sigma]_n}, r_1^{[\sigma]_n}, \dots, r_d^{[\sigma]_n}\}. \quad (5.4)$$

Если $T = T(r)$ – развертка (3.25) для звезды r , то обозначим через

$$T^{[\sigma]_n} = T(r^{[\sigma]_n}) \quad (5.5)$$

соответствующие развертки, порождаемые производными звездами $r^{[\sigma]_n}$.

Размер развертки (5.5) будем контролировать с помощью *радиуса развертки*

$$\varrho^{[\sigma]^n} = \varrho(T^{[\sigma]^n}) = \max_{v \in \text{ver } T^{[\sigma]^n}} |v|, \quad (5.6)$$

где $\text{ver } T^{[\sigma]^n}$ – множество вершин развертки $T^{[\sigma]^n}$ и $|v| = |v_1| + \dots + |v_d|$ для $v = (v_1, \dots, v_d)$ из \mathbb{R}^d . Из определений развертки (3.25) и ее радиуса (5.6) следует равенство

$$\varrho^{[\sigma]^n} = \max_v |v|. \quad (5.7)$$

Здесь максимум берется по всем векторам v , представимым в виде суммы k различных лучей $r_i^{[\sigma]^n}$ звезды $r^{[\sigma]^n}$ из (5.4), где k пробегает все значения от 1 до d . Таким образом, радиус развертки $\varrho^{[\sigma]^n}$ равен радиусу минимальной сферы в полиэдральной метрике (1.15) с центром в точке 0, содержащей развертку $T^{[\sigma]^n}$.

5.3. Основная теорема об аппроксимации.

Лемма 5.1. 1. Для произвольной бесконечной последовательности дифференцирований $\sigma = \{\sigma_1, \sigma_2, \dots, \sigma_n, \dots\}$ из множества Ξ , матрицы

$$S^{[\sigma]^n} = \begin{pmatrix} P_{01}^{[\sigma]^n} & P_{11}^{[\sigma]^n} & \dots & P_{d1}^{[\sigma]^n} \\ P_{0d}^{[\sigma]^n} & P_{1d}^{[\sigma]^n} & \dots & P_{dd}^{[\sigma]^n} \\ Q_0^{[\sigma]^n} & Q_1^{[\sigma]^n} & \dots & Q_d^{[\sigma]^n} \end{pmatrix} \quad (5.8)$$

производных звезд $r^{[\sigma]^n}$ из (5.4) вычисляются по формуле

$$S^{[\sigma]^n} = S^{[\sigma]^0} \cdot D^{[\sigma]^n}(r). \quad (5.9)$$

Здесь $S^{[\sigma]^0} = S$ – матрица (4.3) начальной звезды $r = r^{[\sigma]^0}$ и

$$D^{[\sigma]^n}(r) = D(\sigma_1, r^{[\sigma]^0}) \cdot D(\sigma_2, r^{[\sigma]^1}) \cdot \dots \cdot D(\sigma_n, r^{[\sigma]^{n-1}}), \quad (5.10)$$

где $D(\sigma^*, r^*)$ – матрицы специализации (4.9) дифференцирований σ^* относительно звезд r^* .

2. Производные звезды $r^{[\sigma]^n} = \{r_0^{[\sigma]^n}, r_1^{[\sigma]^n}, \dots, r_d^{[\sigma]^n}\}$ состоят из лучей

$$r_i^{[\sigma]^n} = Q_i^{[\sigma]^n} \alpha + P_i^{[\sigma]^n} \quad (5.11)$$

порядков $Q_i^{[\sigma]^n} \geq 1$ для $i = 0, 1, \dots, d$, где $P_i^{[\sigma]^n} = (P_{i1}^{[\sigma]^n}, \dots, P_{id}^{[\sigma]^n})$ – вектор из \mathbb{Z}^d .

Доказательство. Формула (5.9) вытекает из формулы (4.12), а из (5.9) следует явный вид (5.8) матрицы $S^{[\sigma]^n}$. Равенство (5.11) для лучей $r_i^{[\sigma]^n}$ выводится из определения (4.1) лучей $r_i^{[\sigma]^0}$ начальной звезды $r = r^{[\sigma]^0}$ и из (5.8). \square

Далее нам потребуется матрица-столбец

$$\begin{pmatrix} P_{\max}^{[\sigma]^n} \\ Q_{\max}^{[\sigma]^n} \end{pmatrix} = \begin{pmatrix} P_{01}^{[\sigma]^n} + P_{11}^{[\sigma]^n} + \dots + P_{d1}^{[\sigma]^n} \\ \dots \\ P_{0d}^{[\sigma]^n} + P_{1d}^{[\sigma]^n} + \dots + P_{dd}^{[\sigma]^n} \\ Q_0^{[\sigma]^n} + Q_1^{[\sigma]^n} + \dots + Q_d^{[\sigma]^n} \end{pmatrix}, \quad (5.12)$$

равная сумме всех столбцов матрицы (5.8), и соответствующая точка

$$r_{\max}^{[\sigma]^n} = Q_{\max}^{[\sigma]^n} \alpha + P_{\max}^{[\sigma]^n} \quad (5.13)$$

порядка $Q_{\max}^{[\sigma]^n} = Q_0^{[\sigma]^n} + Q_1^{[\sigma]^n} + \dots + Q_d^{[\sigma]^n} \geq 1$. Из определений (5.12) и (5.13) следует, что $r_{\max}^{[\sigma]^n}$ получается как сумма

$$r_{\max}^{[\sigma]^n} = r_0^{[\sigma]^n} + r_1^{[\sigma]^n} + \dots + r_d^{[\sigma]^n} \quad (5.14)$$

всех лучей (5.11) производной звезды $r^{[\sigma]^n}$.

Теорема 5.1. Пусть α – иррациональная точка (1.4), r – звезда (4.2) и $\sigma = \{\sigma_1, \sigma_2, \dots, \sigma_n, \dots\}$ – произвольная бесконечная последовательность дифференцирований σ_i из множества Σ . Тогда справедливы следующие утверждения.

1. Звезда $r = \{r_0, r_1, \dots, r_d\}$ является бесконечно дифференцируемой и, значит, существуют $[\sigma]_n$ -производные звезды $r^{[\sigma]^n}$ из (5.4) всех порядков $n = 0, 1, 2, \dots$

2. Порождаемые производными звездами $r^{[\sigma]^n}$ развертки $T^{[\sigma]^n}$ из (5.5) обладает свойством минимальности:

$$Q\alpha + P \notin (T^{[\sigma]^n})^{\text{int}}, \quad (5.15)$$

если $1 \leq Q < Q_{\max}^{[\sigma]^n}$ и P – любая точка из \mathbb{Z}^d ; единственная точка

$$Q\alpha + P \in (T^{[\sigma]^n})^{\text{int}} \quad (5.16)$$

порядка $Q = Q_{\max}^{[\sigma]^n}$ есть точка $r_{\max}^{[\sigma]^n} = Q_{\max}^{[\sigma]^n} \alpha + P_{\max}^{[\sigma]^n}$, определенная в (5.14).

3. Имеют место неравенства

$$\left| \alpha - \frac{P_{\max}^{[\sigma]_n}}{Q_{\max}^{[\sigma]_n}} \right| \leq \frac{\varrho^{[\sigma]_n}}{Q_{\max}^{[\sigma]_n}} \quad (5.17)$$

для всех $n = 0, 1, 2, \dots$. Здесь $\varrho^{[\sigma]_n} = \varrho(T^{[\sigma]_n})$ обозначает радиус развертки $T^{[\sigma]_n}$ $[\sigma]_n$ -производной $r^{[\sigma]_n}$ звезды r , определенный в (5.6).

4. Знаменатели $Q_{\max}^{[\sigma]_n}$ в аппроксимационной формуле (5.17) обладают свойством

$$Q_{\max}^{[\sigma]_n} \rightarrow +\infty \quad \text{при} \quad n \rightarrow +\infty. \quad (5.18)$$

Доказательство. Утверждения 1 и 4 были доказаны в [3] и [1].

Согласно определению 2.1 начальная звезда $r = r^{[\sigma]_0}$, определенная в (4.2), вкладывается

$$r^{[\sigma]_0} \xrightarrow{\text{em}} \mathbb{T}^d \quad (5.19)$$

в тор $\mathbb{T}^d = \mathbb{T}_{\mathbb{Z}^d}^d$ относительно сдвига $S = S_{\alpha_-}$. По утверждению 1 для звезды $r = r^{[\sigma]_0}$ существуют производные звезды $r^{[\sigma]_n}$ всех порядков $n = 1, 2, 3, \dots$. Тогда из (5.19) и теоремы 3.3 следуют вложения

$$r^{[\sigma]_n} \xrightarrow{\text{em}} \mathbb{T}^d \quad (5.20)$$

в тор \mathbb{T}^d производных звезд $r^{[\sigma]_n}$ относительно того же сдвига $S = S_{\alpha_-}$. Теперь из существования вложений (5.20) звезд $r^{[\sigma]_n}$ и критерия вложимости отвечающих им разверток тора $T^{[\sigma]_n} = T(r^{[\sigma]_n})$ (см. теорему 3.2) вытекает минимальность (5.15), (5.16) разверток $T^{[\sigma]_n}$.

Что касается неравенств (5.17), то они непосредственно получаются из (5.16) и определения (5.6) радиуса развертки $\varrho^{[\sigma]_n} = \varrho(T^{[\sigma]_n})$. \square

5.4. Минимальное свойство и $T^{[\sigma]_n}$ -нормы. Минимальное свойство (5.15)–(5.16) указывает на *наилучшее ядерное приближение* (кагуон approximation). Это означает, что точки $r_{\max}^{[\sigma]_n} = Q_{\max}^{[\sigma]_n} \alpha + P_{\max}^{[\sigma]_n}$ наилучшим образом приближаются к $0 \bmod \mathbb{Z}^d$ относительно $T^{[\sigma]_n}$ -норм (ядерных норм) $\|\cdot\| = \|\cdot\|_{\alpha}^{[\sigma]_n}$, в качестве выпуклых тел для которой выбраны выпуклые многогранники $\text{Kг}^n = T^{[\sigma]_n}$ – ядра (3.27) индуцированных разбиений d -мерного тора \mathbb{T}^d . Так определенные $T^{[\sigma]_n}$ -нормы

обладают следующими свойствами:

$$\begin{aligned} \|x\| &= 0 \Leftrightarrow x = 0, \\ \|ax\| &= a \|x\|, \quad a \geq 0, \\ c_1 \|x\| &\leq \| -x \| \leq c_2 \|x\|, \\ \|x + y\| &\leq c_3 (\|x\| + \|y\|), \end{aligned} \tag{5.21}$$

где $0 < c_1 \leq c_2$, $c_3 > 0$ – некоторые константы. Как видно из (5.21), $T^{[\sigma]n}$ -нормы не удовлетворяют свойству $\| -x \| = \|x\|$ – это следствие того, что 0 не находится в центре симметрии многогранников $K^n = T^{[\sigma]n}$, хотя сами они являются центрально симметричными.

Неравенство (5.17) записано в фиксированной многогранной норме $|x|_s = |x_1| + \dots + |x_d|$. Можно было взять и любую другую норму, например, – шаровую или евклидову $|x|_e = (|x_1|^2 + \dots + |x_d|^2)^{1/2}$. Фиксированные нормы удобны для количественных оценок скорости приближений, но они не прослеживают наилучшие приближения.

Замечание 5.1. Приближения (5.17) будут нетривиальны только в случае, когда радиус разверток

$$\varrho^{[\sigma]n} = \varrho(T^{[\sigma]n}) \longrightarrow 0 \quad \text{при} \quad n \longrightarrow +\infty. \tag{5.22}$$

Описанию того, как можно обеспечить выполнение последнего свойства, посвящен следующий раздел.

§6. ЛОКАЛЬНЫЕ СТРАТЕГИИ

6.1. Целевая функция. Из неравенств (5.17) видно, что приближение иррациональной точки $\alpha = (\alpha_1, \dots, \alpha_d)$ подходящими дробями $\frac{P^{[\sigma]n}}{Q^{[\sigma]n}}$ полностью зависит от величины радиуса $\varrho^{[\sigma]n} = \varrho(T^{[\sigma]n})$ разверток тора $T^{[\sigma]n} = T(r^{[\sigma]n})$, порождаемых производными звездами $r^{[\sigma]n}$. В свою очередь, сами производные звезды $r^{[\sigma]n}$ определяются бесконечной последовательностью дифференцирований $\sigma = \{\sigma_1, \sigma_2, \dots, \sigma_n, \dots\}$ из множества $\Xi = \Sigma^{\mathbb{N}}$.

Воспользуемся функцией ϱ для формирования стратегии выбора дифференцирований $\sigma_n \in \Sigma$ в последовательности

$$\sigma = \{\sigma_1, \sigma_2, \dots, \sigma_n, \dots\},$$

применяя индукцию по $n = 0, 1, 2, \dots$:

$$\varrho(T^{[\sigma]n}) = \min_{\sigma'_n \in \Sigma} \varrho(T^{[\sigma']n}), \tag{6.1}$$

где через $[\sigma]_n = \{\sigma_1, \sigma_2, \dots, \sigma_n\}$ и $[\sigma']_n = \{\sigma_1, \sigma_2, \dots, \sigma'_n\}$ обозначены отрезки длины n . Смысл стратегии (6.1) состоит в том, что если отрезок $[\sigma]_{n-1} = \{\sigma_1, \sigma_2, \dots, \sigma_{n-1}\}$ уже определен, то дифференцирование $\sigma_n \in \Sigma$ выбирается из условия минимизации (6.1). Определенную в (6.1) стратегию будем называть ϱ -стратегией, явно указывая на ее зависимость от целевой функции $\varrho(T)$ из (5.6).

6.2. Диофантовы экспоненты. Из неравенства (5.17) следует, что выбранная ϱ -стратегия применительно к данной точке α срабатывает, если выполняется условие (5.22). Если же попытаться как-то количественно оценить ϱ -стратегию, то с этой целью можно использовать, например, *диофантову экспоненту*

$$\eta = \eta(\alpha, \varrho) = \sup_{n' \geq 0} \inf_{n \geq n'} \frac{-\ln \varrho(T^{[\sigma]_n})}{\ln Q_{\max}^{[\sigma]_n}}. \quad (6.2)$$

Ее роль видна из следующего утверждения.

Теорема 6.1. Пусть выполняются условия теоремы 5.1, выбрана целевая функция $\varrho(T)$ из (5.6) и по ϱ -стратегии (6.1) построена бесконечная последовательность производных $\sigma = \{\sigma_1, \sigma_2, \dots, \sigma_n, \dots\}$ из множества $\Xi = \Sigma^{\mathbb{N}}$. Кроме того, пусть η' – произвольное число, удовлетворяющее неравенству $\eta' < \eta$, где $\eta = \eta(\alpha, \varrho)$ – диофантова экспонента (6.2). Тогда в метрике (1.15) справедлива оценка

$$\left| \alpha - \frac{P_{\max}^{[\sigma]_n}}{Q_{\max}^{[\sigma]_n}} \right| \leq \frac{1}{(Q_{\max}^{[\sigma]_n})^{1+\eta'}} \quad (6.3)$$

для всех $n \geq n_{\eta'}$. Здесь нижняя граница $n_{\eta'}$ для n определяется выбором показателя η' и зависит от иррациональной точки $\alpha = (\alpha_1, \dots, \alpha_d)$ и целевой функции $\varrho(T)$.

Доказательство. непосредственно следует из неравенства (5.17) в теореме 5.1 и определения (6.2) диофантовой экспоненты η . \square

6.3. Многошаговые стратегии. Определенную в (6.1) ϱ -стратегию, естественно назвать *одношаговой*. Если возникнет задача увеличения значения диофантовой экспоненты (6.2) и, значит, увеличения

скорости приближения в неравенстве (6.3), то для этого можно попытаться применить многошаговую стратегию:

$$\min_{\substack{\sigma_{n+1} \in \Sigma, \\ \dots \\ \sigma_{n+\omega-1} \in \Sigma}} \varrho(T^{[\sigma]_{n+\omega-1}}) = \min_{\substack{\sigma'_n \in \Sigma, \\ \sigma_{n+1} \in \Sigma, \\ \dots \\ \sigma_{n+\omega-1} \in \Sigma}} \varrho(T^{[\sigma']_{n+\omega-1}}), \quad (6.4)$$

где через

$$\begin{aligned} [\sigma]_{n+\omega-1} &= \{\sigma_1, \sigma_2, \dots, \sigma_n, \sigma_{n+1}, \dots, \sigma_{n+\omega-1}\}, \\ [\sigma']_{n+\omega-1} &= \{\sigma_1, \sigma_2, \dots, \sigma'_n, \sigma_{n+1}, \dots, \sigma_{n+\omega-1}\} \end{aligned}$$

обозначены отрезки длины $n + \omega - 1$ в последовательности

$$\sigma = \{\sigma_1, \sigma_2, \dots, \sigma_n, \dots\}.$$

Если отрезок $[\sigma]_{n-1}$ уже построен, то следующий отрезок $[\sigma]_n$ находится по правилу (6.4). Определенную таким образом стратегию будем называть ω -шаговой стратегией с оценочной функцией $\varrho(T)$ или кратко – ϱ^ω -стратегией. Стратегия из (6.1) – это одношаговая ϱ^1 -стратегия.

Замечание 6.1. Все определяемые таким образом стратегии относятся к классу *локальных*, когда каждый шаг определяется по возможным результатам конечного отрезка следующих за ним шагов.

§7. ЧИСЛОВЫЕ ПРИМЕРЫ

7.1. Степень точки и локальные экспоненты. Определим *степень* $\deg \alpha$ точки $\alpha = (\alpha_1, \dots, \alpha_d)$ равенством

$$\deg \alpha = \deg \mathbb{Q}(\alpha)/\mathbb{Q} = [\mathbb{Q}(\alpha) : \mathbb{Q}], \quad (7.1)$$

где $\mathbb{Q}(\alpha)$ – поле, полученное расширением поля рациональных чисел \mathbb{Q} добавлением к нему чисел $\alpha_1, \dots, \alpha_d$ и $\deg \mathbb{Q}(\alpha)/\mathbb{Q}$ обозначает степень расширения $\mathbb{Q}(\alpha)$ над полем \mathbb{Q} .

Пусть точка α имеет алгебраические координаты. Будем говорить, что она является *полной*, если выполняется соотношение

$$\mathbb{Q}[\alpha] = \mathbb{Q}(\alpha). \quad (7.2)$$

Здесь $\mathbb{Q}[\alpha] = \mathbb{Q}[1, \alpha_1, \dots, \alpha_d]$ обозначает *модуль* с базисом $\{1, \alpha_1, \dots, \alpha_d\}$ над полем \mathbb{Q} . Если α – полная точка, то ее степень (7.1) равна

$$\deg \alpha = d + 1. \quad (7.3)$$

Определенная в (6.2) диофантова экспонента $\eta = \eta(\alpha, \varrho)$ имеет в большей степени чисто теоретическое значение. При работе с числовыми данными удобнее опираться на *локальные диофантовы экспоненты*

$$\eta_n = \eta_n(\alpha, \varrho) = \frac{-\ln \varrho(r^{[\sigma]_n})}{\ln Q_{\max}^{[\sigma]_n}} \quad (7.4)$$

с индексами $n = 1, 2, 3, \dots$

7.2. Кубические иррациональности. Сначала рассмотрим точки $\alpha = (\sqrt[3]{a}, \sqrt[3]{a^2})$, где $a = 7$ и 10 . Согласно определению (7.1) их степени равны

$$\begin{aligned} \deg((\sqrt[3]{7}, \sqrt[3]{49})) &= \deg \mathbb{Q}(\sqrt[3]{7})/\mathbb{Q} = 3, \\ \deg((\sqrt[3]{10}, \sqrt[3]{100})) &= \deg \mathbb{Q}(\sqrt[3]{10})/\mathbb{Q} = 3. \end{aligned} \quad (7.5)$$

Поэтому согласно (7.2) они будут полными точками и для них выполняется свойство (7.3).

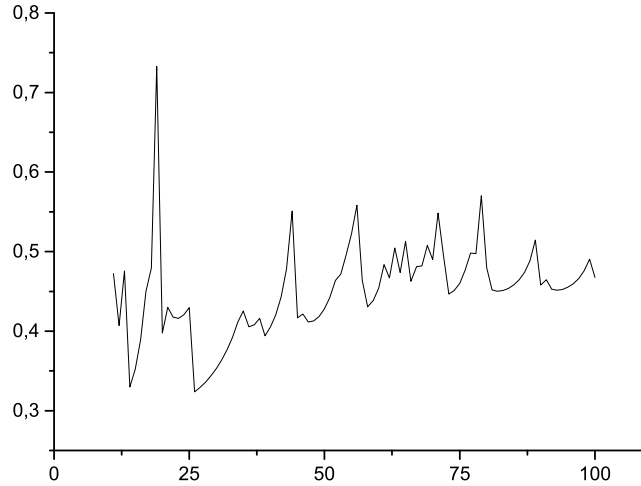


Рис. 8.1. График локальных диофантовых экспонент η_n для полной точки $\alpha = (\sqrt[3]{7}, \sqrt[3]{49})$ степени $\deg \alpha = 3$.

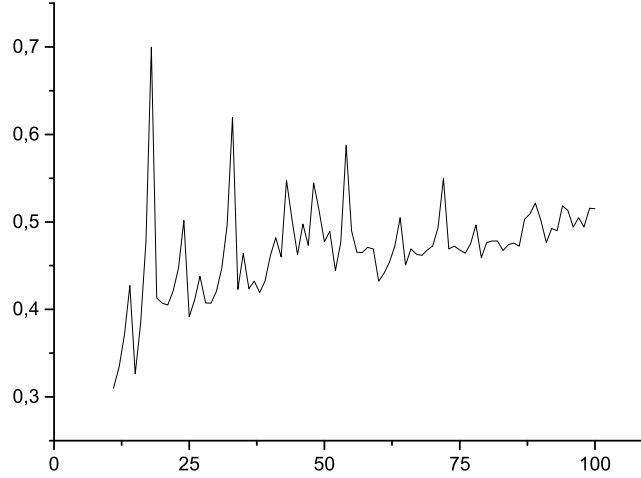


Рис. 8.2. График локальных диофантовых экспонент η_n для полной точки $\alpha = (\sqrt[3]{10}, \sqrt[3]{100})$ степени $\deg \alpha = 3$.

На рис. 8.1 и 8.2 по горизонтальной оси отложены значения последовательных итераций $1 \leq n \leq 10^2$, а по вертикальной – соответствующие значения локальных экспонент $\eta_n = \eta_n(\alpha, \varrho)$ из (7.4) с ограничением на знаменатели

$$Q_{\max}^{[\sigma]_n} \geq 10^3 \tag{7.6}$$

подходящих двумерных дробей $\frac{P_{\max}^{[\sigma]_n}}{Q_{\max}^{[\sigma]_n}}$ в неравенствах (5.17) и (6.3). Условие (7.6) введено для начальной стабилизации процесса приближения

$$\frac{P_{\max}^{[\sigma]_n}}{Q_{\max}^{[\sigma]_n}} \rightarrow \alpha \text{ при } n \rightarrow +\infty$$

подходящими дробями точек α . Ниже приведены приближенные наименьшее $\underline{\eta}$, среднее $\bar{\eta}$ и наибольшее $\overline{\eta}$ значения экспонент η_n для $n \leq 10^2$:

$$\begin{aligned} a = 7 : \quad & \underline{\eta} = 0.324, \quad \bar{\eta} = 0.450, \quad \overline{\eta} = 0.733; \\ a = 10 : \quad & \underline{\eta} = 0.310, \quad \bar{\eta} = 0.468, \quad \overline{\eta} = 0.7. \end{aligned} \tag{7.7}$$

7.3. Биквадратичные иррациональности. Выберем биквадратичную точку $\alpha = (\sqrt{7}, \sqrt{10})$. По определению (7.1) ее степень равна

$$\deg((\sqrt{7}, \sqrt{10})) = \deg \mathbb{Q}(\sqrt{7}, \sqrt{10})/\mathbb{Q} = 4.$$

Следовательно в отличие от рассмотренных выше полных кубических точек, данная точка $\alpha = (\sqrt{7}, \sqrt{10})$ не является полной (7.2) и для нее свойство (7.3) уже не выполняется.

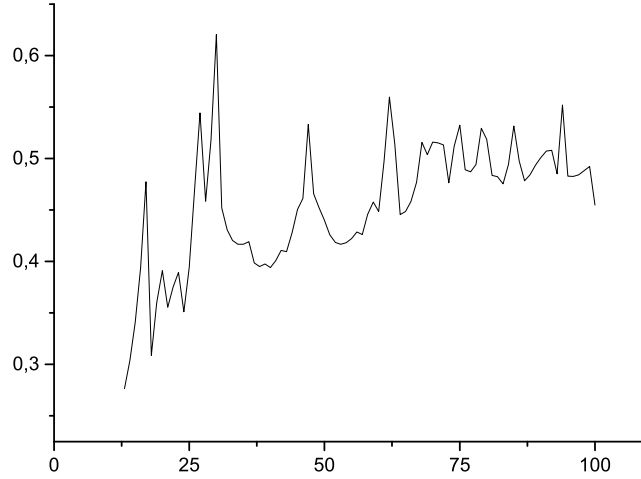


Рис. 8.3. График локальных диофантовых экспонент η_n для неполной точки $\alpha = (\sqrt{7}, \sqrt{10})$ степени $\deg \alpha = 4$.

Для точки $\alpha = (\sqrt{7}, \sqrt{10})$ наименьшее $\underline{\eta}$, среднее $\bar{\eta}$ и наибольшее $\bar{\eta}$ значения экспонент η_n соответственно равны:

$$\underline{\eta} = 0.276, \quad \bar{\eta} = 0.456, \quad \bar{\eta} = 0.620. \quad (7.8)$$

7.4. Выводы. 1. Из результатов (7.7) и (7.8) видно, что для всех приведенных выше точек α наименьшие значения экспонент $\underline{\eta} > 0$ и, следовательно, то же самое справедливо для всех значениях $\eta_n > 0$ локальных диофантовых экспонент (7.4). Поэтому оценки приближений

указанных точек α в неравенствах (5.17) и (6.3) нетривиальны. Это означает, что определенная в (6.1) одношаговая ϱ -стратегия работает.

2. В [11] было доказано, что для кубических иррациональностей с комплексным сопряжением и, в частности, для точек $\alpha = (\sqrt[3]{a}, \sqrt[3]{a^2})$, где $a = 7$ или 10 , существуют периодические приближения (6.3) с диофантовой экспонентой (6.2), равной $\eta = 0.5$ – наибольшей возможной экспонентой для отмеченных кубических иррациональностей. Из графиков на рис. 8.1 и 8.2 видно, что локальные экспоненты η_n регулярно принимают значения $\eta_n > 0.5$ для $n \leq 10^2$.

3. В одномерном случае $d = 1$, т.е. для обычных цепных дробей, пики значений локальных экспонент η_n связаны с большими неполными частными в разложении вещественного числа в цепную дробь. Поэтому и для высших размерностей $d \geq 2$ пики значений η_n гипотетично можно ассоциировать с большими “неполными частными” в ϱ -стратегии (6.1) последовательных приближений точек $\alpha = (\alpha_1, \dots, \alpha_d)$.

4. В (6.1) стратегия приближения подходящими цепными дробями $\frac{P^{[\sigma]_n}}{Q^{[\sigma]_n}}$ к точке α была выбрана так, чтобы получающиеся в теореме 5.1 развертки $T^{[\sigma]_n}$ не сильно вытягивались, т.е. развертки $T^{[\sigma]_n}$ при $n \rightarrow +\infty$ удерживали бы форму, близкую к шаровой. Последнее означает ограниченность отношения $\frac{R_n}{r_n}$ радиусов описанного и вписанного шаров для многогранников $T^{[\sigma]_n}$ при $n \rightarrow +\infty$. Данное свойство обеспечивает хорошие приближения (5.17) точки α подходящими дробями $\frac{P^{[\sigma]_n}}{Q^{[\sigma]_n}}$ в выбранной нами ромбической норме $|x| = |x_1| + \dots + |x_d|$ или эквивалентной ей евклидовой норме $|x|_e = (|x_1|^2 + \dots + |x_d|^2)^{1/2}$.

СПИСОК ЛИТЕРАТУРЫ

1. В. Г. Журавлев, *Симплекс-ядерный алгоритм разложения в многомерные цепные дроби*. — Совр. пробл. матем., МИАН, 2017, том 299, стр. 1–20.
2. В. Г. Журавлев, *Двумерные приближения методом делящихся торических разбиений*. — Зап. научн. семин. ПОМИ **440** (2015), 81–98.
3. В. Г. Журавлев, *Дифференцирование индуцированных разбиений тора и многомерные приближения алгебраических чисел*. — Зап. научн. семин. ПОМИ **445** (2016), 33–92.
4. V. Brun, *Algorithmes euclidiens pour trois et quatre nombres*. — In Treizieme congres des mathematiciens scandinaves, tenu a Helsinki 18–23 aout (1957), 45–64. Mercators Tryckeri, Helsinki, 1958.
5. E. S. Selmer, *Continued fractions in several dimensions*. — Nordisk Nat. Tidskr. **9** (1961), 37–43.

6. A. Nogueira, The three-dimensional Poincare continued fraction algorithm. — Israel J. Math. **90** (1995), No. 1–3, 373–401.
7. F. Schweiger, *Multidimensional Continued Fraction*. Oxford Univ. Press, New York, 2000.
8. V. Berthe, S. Labbe, *Factor complexity of S-adic words generated by the Arnoux–Rauzy–Poincare algorithm*. — Advances in Applied Mathematics **63** (2015), 90–130.
9. P. Arnoux, S. Labbe, *On some symmetric multidimensional continued fraction algorithms*. — arXiv:1508.07814, August 2015.
10. J. Cassaigne, *Un algorithme de fractions continues de complexite lineaire*. — October 2015. DynA3S meeting, LIAFA, Paris, October 12th, 2015.
11. В. Г. Журавлев, *Симплекс-модульный алгоритм разложения алгебраических чисел в многомерные целные дроби*. — Зап. научн. семин. ПОМИ **449** (2016), 168–195.
12. В. Г. Журавлев, *Одномерные разбиения Фибоначчи*. — Изв. РАН, сер. матем. **71** (2007), № 2, 89–122.
13. В. Г. Журавлев, *Переключивающиеся торические развертки и множества ограниченного остатка*. — Зап. научн. семин. ПОМИ **392** (2011), 95–145.
14. В. Г. Журавлев, *Многогранники ограниченного остатка*. — Математика и информатика, 1, К 75-летию со дня рождения Анатолия Алексеевича Карацубы, Совр. пробл. матем., **16**, МИАН, М., 2012, 82–102.
15. Е. С. Федоров, *Начала учения о фигурах*. М., 1953.
16. Г. Ф. Вороной, *Собрание сочинений*, том 2. Киев, 1952.
17. В. Г. Журавлев, *Разбиения Розы и множества ограниченного остатка на торе*. — Зап. научн. семин. ПОМИ, 2005, т. 322, с. 83–106.
18. V. G. Zhuravlev, *On additive property of a complexity function related to Rauzy tiling*. — Anal. Probab. Methods Number Theory, E. Manstavicius et al. (Eds), TEV, Vilnius, 2007, p. 240–254.

Zhuravlev V. G. The karyon algorithm for decomposition into multidimensional continued fractions.

In this paper we propose a universal karyon algorithm, applicable to any set of real numbers $\alpha = (\alpha_1, \dots, \alpha_d)$, which is a modification of the simplex-karyon algorithm. The main difference is an infinite sequence $\mathbf{T} = \mathbf{T}_0, \mathbf{T}_1, \dots, \mathbf{T}_n, \dots$ of d -dimensional parallelohedra \mathbf{T}_n instead of the simplex sequence. Each parallelohedron \mathbf{T}_n is obtained from the previous \mathbf{T}_{n-1} by means of the differentiation $\mathbf{T}_n = \mathbf{T}_{n-1}^{\sigma_n}$. Parallelohedra \mathbf{T}_n represent itself karyons of certain induced toric tilings. A certain algorithm (ϱ -strategy) of the choice of infinite sequences $\sigma = \{\sigma_1, \sigma_2, \dots, \sigma_n, \dots\}$ of derivations σ_n is specified. This algorithm provides the convergence $\varrho(\mathbf{T}_n) \rightarrow 0$ if $n \rightarrow +\infty$, where $\varrho(\mathbf{T}_n)$ denotes the radius of the parallelohedron \mathbf{T}_n in the metric ϱ chosen as an objective function. It is proved that the parallelohedra \mathbf{T}_n have the minimum property, i.e. the

karyon approximation algorithm is the best with respect to karyon \mathbf{T}_n -norms. Also we get an estimate for the approximation rate of real numbers $\alpha = (\alpha_1, \dots, \alpha_d)$ by multidimensional continued fractions.

Математический
институт им. В. А. Стеклова РАН
Москва;
Владимирский государственный
университет,
пр. Строителей, 11,
600024, Владимир, Россия
E-mail: vzhuravlev@mail.ru

Поступило 9 февраля 2018 г.